

# Параметрическая идентификация математической модели электропривода

Владимир Чуйков, Александр Семерников (Ростовская обл.)

Рассматривается алгоритм идентификации математической модели электропривода для случая, когда его передаточную функцию можно представить в виде последовательного соединения двух инерционных и одного интегрирующего звеньев. Описана структурная схема алгоритма, представлены результаты моделирования.

## ВВЕДЕНИЕ

При решении задач синтеза и оптимизации в процессе разработки современных систем автоматического управления (САУ) важным элементом является наличие математической модели (ММ) объекта управления (ОУ), описывающей этот объект как можно более точно. Это позволяет целенаправленно выполнять проектирование и разработку эффективных алгоритмов управления.

Точная копия математической модели редко известна на практике. Задача облегчается в том случае, если имеется структура модели, хотя значения её параметров изменяются в процессе работы системы. В качестве примера можно привести работу САУ на борту летательного аппарата [1]. Здесь структура системы известна, а значения параметров ММ заданы для номинальных условий эксплуатации (температуры, влажности, отсутствия агрессивной среды и т.п.).

Однако при изменении высоты полёта существенно изменяются условия работы САУ, например, температура на борту летательного аппарата. Это приводит к изменению сопротивления обмоток двигателей ОУ и, следовательно, к вариациям «электромеханических» постоянных времени передаточной функции; загустение смазки в меха-

низмах ведёт к дополнительному изменению динамических свойств приводов.

В такой ситуации процедуру идентификации можно рассматривать как задачу уточнения параметров ММ ОУ по экспериментальным данным в зависимости от условий его эксплуатации.

В терминах теории анализа электрических цепей задача идентификации достаточно исследована, и её решение в основном сводится к анализу переходной функции электрической цепи при подаче на её вход единичного скачка тестирующего напряжения [2].

В качестве примера приведены [3] эпюра и выражение для переходной характеристики  $b(t) = k[t - T(1 - \exp(-t/T))]$  интегрирующего звена с замедлением с передаточной функцией

$$W(p) = \frac{k}{(Tp+1)p},$$

которая, как известно, соответствует передаточной функции электропривода с коэффициентом передачи  $k$  и электромеханической постоянной времени  $T$  при использовании его простейшей модели.

Из соотношения для  $b(t)$  следует, что отрезок, отсекаемый асимптотой переходной функции на оси времени, равен  $T$ , а угол наклона асимптоты пропорционален арктангенсу  $k$ .

На этом принципе построены известные процедуры идентификации [1, 4], которые сводятся к анализу напряжения  $z(t)$  на выходе датчика углового положения (ДУП), жёстко связанного с выходным валом электропривода, при воздействии на вход разомкнутого электропривода тестирующего напряжения  $x(t)$ . Однако в

этом случае возможна идентификация только самой простейшей ММ электропривода.

## ПОСТАНОВКА ЗАДАЧИ

В данной статье рассматривается алгоритм определения коэффициента передачи по угловой скорости  $K_{ЭМ}$  и постоянных времени  $T_1, T_2$  для более сложной ММ привода, когда его передаточную функцию по углу  $W_{пр}(p)$  можно представить в виде:

$$W_{пр}(p) = \frac{K_{ЭМ}}{(T_1 p + 1)(T_2 p + 1)p}. \quad (1)$$

Структурная схема алгоритма представлена на рисунке 1, где:  $z(t)$  и  $y(t)$  – отклики на выходах датчиков углового положения (ДУП) и угловой скорости (ДУС) соответственно на скачок напряжения  $x(t)$  с амплитудой  $A$ ;  $T_1^*, T_2^*$  – оценки первой и второй постоянных времени электропривода соответственно;  $K_{ЭМ}^*$  – оценка коэффициента передачи по угловой скорости электропривода;  $W_{ДУП}(p)$  и  $W_{ДУС}(p)$  – передаточные функции датчиков углового положения и угловой скорости соответственно. Для упрощения выкладок полагается, что  $W_{ДУП}(p) = 1$  и  $W_{ДУС}(p) = 1/p$ .

Процедура идентификации сводится к тому, что на вход разомкнутого электропривода подаётся скачок напряжения, а в ЭВМ выполняется совместный анализ откликов  $z(t)$  и  $y(t)$  после их предварительного аналого-цифрового преобразования.

Рассмотрим предлагаемый алгоритм идентификации подробнее. Анализ структурной схемы показывает, что при использовании описания передаточной функции привода в виде (1) отклик  $y(t; K_{ЭМ}; A; T_1; T_2)$  (переходная характеристика по скорости) описывается соотношением:

$$y(t; K_{ЭМ}; A; T_1, T_2) = \Omega_{НОМ} \left\{ \frac{T_1}{T_2 - T_1} e^{-\frac{t}{T_1}} - \frac{T_2}{T_2 - T_1} e^{-\frac{t}{T_2}} + 1 \right\}, \quad (2)$$

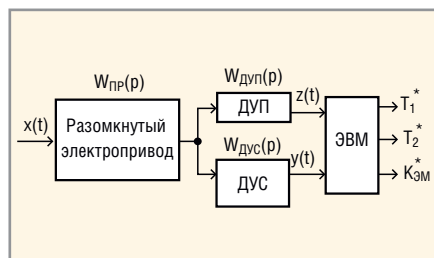


Рис. 1. Структурная схема алгоритма идентификации электропривода

где  $\Omega_{\text{ном}} = K_{\text{ЭМ}} A$  – номинальное (установившееся) значение скорости вращения вала электропривода.

Из выражения (2) следует:

- сохранив в памяти ЭВМ значения  $y(t; K_{\text{ЭМ}}; A; T_1; T_2)$  в диапазоне скоростей, лежащих от нуля до её установившегося значения, можно, кроме оценки установившегося значения скорости  $\Omega_{\text{ном}}^*$ , определить оценку времени  $t_{\text{уст}}^*$ , при котором скорость вращения двигателя достигает  $0,95\Omega_{\text{ном}}^*$ ;
- оценку коэффициента передачи по скорости  $K_{\text{ЭМ}}^*$  тестируемого электропривода в соответствии с вышесказанным можно произвести по формуле:

$$K_{\text{ЭМ}}^* = \frac{\Omega_{\text{ном}}^*}{A}. \quad (3)$$

Анализ структурной схемы также показывает, что  $z(t; K_{\text{ЭМ}}; A; T_1; T_2)$  (переходная характеристика по угловому положению) описывается соотношением:

$$\begin{aligned} z(t; K_{\text{ЭМ}}; A; T_1; T_2) = & \\ = K_{\text{ЭМ}} A & \left\{ \frac{-T_1^2}{T_2 - T_1} e^{-\frac{t}{T_1}} + \right. \\ & \left. + \frac{T_2^2}{T_2 - T_1} e^{-\frac{t}{T_2}} - T_2 - T_1 + t \right\}. \quad (4) \end{aligned}$$

Из формулы (4) следует, что для зависимости асимптоты  $P(t; K_{\text{ЭМ}}; A; T_1; T_2)$  функции  $z(t; K_{\text{ЭМ}}; A; T_1; T_2)$  можно записать [5]:

$$P(t; K_{\text{ЭМ}}; A; T_1; T_2) =$$

$$\begin{aligned} & = z(t; K_{\text{ЭМ}}; A; T_1; T_2) |_{t \rightarrow \infty} = \\ & = K_{\text{ЭМ}} A \{t - (T_2 + T_1)\}. \quad (5) \end{aligned}$$

Отсюда можно сделать вывод, что если определено уравнение асимптоты переходной характеристики по углу, то из него может быть найдена оценка постоянной времени  $\tau_2^*$ , где  $\tau_2 = T_1 + T_2$ . Действительно, из (5) следует, что  $\tau_2$  определяется как значение момента времени  $t = T_2 + T_1$ , при котором функция  $P(t; K_{\text{ЭМ}}; A; T_1; T_2)$  равна нулю (точка пересечения асимптоты с осью абсцисс).

Дополнительно проведённые исследования показали, что с методической ошибкой, не превышающей нескольких процентов, для определения  $\tau_2^*$  вместо уравнения асимптоты можно использовать уравнение касательной к функции  $z(t)$ , построенной по результатам экспериментов в точке  $(t_{\text{уст}}, z(t_{\text{уст}}))$ .

Далее, для реализации предлагаемого алгоритма необходимо выполнить аппроксимацию записанной в памяти ЭВМ характеристики  $y(t; K_{\text{ЭМ}}; A; T_1; T_2)$  тестируемого привода вспомогательной аппроксимирующей функцией  $y_{\text{апп}}(t; \tau_2^*; d; K_{\text{ЭМ}}^*)$ , где  $d$  – некоторый единственный определяемый в процессе оптимизации вспомогательный параметр.

Определим выражение

$$y_{\text{апп}}(t; \tau_2^*; d; K_{\text{ЭМ}}^*),$$

являющееся описанием отклика на выходе ДУС на  $x(t)$ , для случая, когда вместо  $W_{\text{пр}}(p)$  используется эквивалентная ей передаточная функция

апериодического звена второго порядка  $W_{\text{пр}}^A(p)$  [6]:

$$W_{\text{пр}}^A(p) = \frac{K_{\text{ЭМ}}}{p(\tau_1^2 p^2 + \tau_2 p + 1)}, \quad (6)$$

где

$$\tau_2 = T_1 + T_2, \quad \tau_1 = \frac{\tau_2}{2d}, \quad a \, d > 1. \quad (7)$$

Тогда из рисунка 1 следует, что в этом случае отклик ДУС в операторной форме имеет вид [6]:

$$Y_{\text{апп}}(p) = \frac{A K_{\text{ЭМ}}}{p(\tau_1^2 p^2 + \tau_2 p + 1)}. \quad (8)$$

С учётом (7) соотношение (8) можно записать следующим образом:

$$Y_{\text{апп}}(p) = \frac{4d^2 A K_{\text{ЭМ}}}{\tau_2^2 p \left( p^2 + \frac{4d^2}{\tau_2} p + \frac{4d^2}{\tau_2^2} \right)}. \quad (9)$$

Разложим  $Y_{\text{апп}}(p)$  на простейшие дроби [3]:

$$\begin{aligned} Y_{\text{апп}}(p) = & \frac{4d^2 A K_{\text{ЭМ}}}{\tau_2^2} \times \\ & \times \left( \frac{D}{p} + \frac{B}{p - p_1} + \frac{C}{p - p_2} \right), \quad (10) \end{aligned}$$

где  $p_1$  и  $p_2$  – корни уравнения

$$p^2 + \frac{4d^2}{\tau_2} p + \frac{4d^2}{\tau_2^2} = 0. \quad (11)$$

Нетрудно показать, что из (10) и (11) следует:

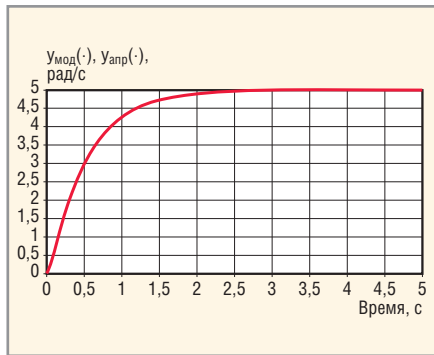


Рис. 2. Эксперимент 1

Переходная характеристика по скорости  $y_{\text{мод}}(\cdot)$  для модели тестируемого привода с  $K_{\text{ЭМ}} = 5,0$ ;  $T_1 = 0,05$  с;  $T_2 = 0,50$  и аппроксимирующая кривая  $y_{\text{апп}}(\cdot)$  с  $K_{\text{ЭМ}}^* = 5,0$ ;  $\tau_2^* = 0,542094$  с практически сливаются

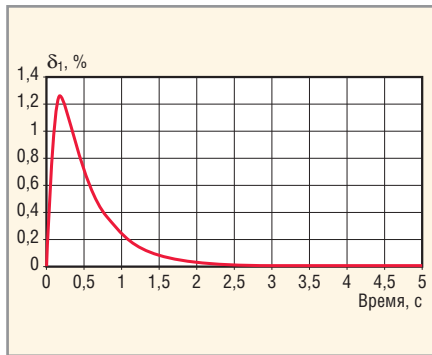


Рис. 3. Эксперимент 1

Относительная текущая ошибка между переходной характеристикой по скорости  $y_{\text{мод}}(\cdot)$  для модели тестируемого привода с  $K_{\text{ЭМ}} = 5,0$ ;  $T_1 = 0,05$  с;  $T_2 = 0,5$  с и аппроксимирующей кривой  $y_{\text{апп}}(\cdot)$  с  $K_{\text{ЭМ}}^* = 5,0$ ;  $\tau_2^* = 0,542094$  с

$$Y_{\text{апп}}(p) = \frac{4d^2 AK_{\text{ЭМ}} [p^2(D+B+C) - p(D(p_1+p_2) + Bp_2 + Cp_1) + Dp_1p_2]}{\tau_2^2 p(p-p_1)(p-p_2)}, \quad (12)$$

$$\text{где } p_1 = \frac{2d^2}{\tau_2} \left( -1 + \sqrt{1 - \frac{1}{d^2}} \right),$$

$$p_2 = \frac{2d^2}{\tau_2} \left( -1 - \sqrt{1 - \frac{1}{d^2}} \right). \quad (13)$$

Приравняв коэффициенты при одинаковых степенях  $p$  в числителе (12), получим систему из трёх уравнений для определения  $D, B, C$ :

$$\begin{cases} D+B+C=0; \\ D(p_1+p_2)+Bp_2+Cp_1=0; \\ Dp_1p_2=1. \end{cases} \quad (14)$$

Решив систему уравнений (14), с учётом (13) получим:

$$D = \frac{\tau_2^2}{4d^2}, \quad B = \frac{\tau_2^2}{2d^2} \left( \frac{-1 - \sqrt{1 - \frac{1}{d^2}}}{\sqrt{1 - \frac{1}{d^2}}} \right),$$

$$C = \frac{\tau_2^2}{8d^2} \left( \frac{1 - \sqrt{1 - \frac{1}{d^2}}}{\sqrt{1 - \frac{1}{d^2}}} \right). \quad (15)$$

В итоге для  $Y_{\text{апп}}(p)$  получим:

$$Y_{\text{апп}}(p) = AK_{\text{ЭМ}} \left[ \frac{1}{p} - \frac{1 + \sqrt{1 - \frac{1}{d^2}}}{2\sqrt{1 - \frac{1}{d^2}}} \frac{1}{\left( p - \frac{4d^2}{\tau_2} \left( -1 + \sqrt{1 - \frac{1}{d^2}} \right) \right)} + \frac{1 - \sqrt{1 - \frac{1}{d^2}}}{2\sqrt{1 - \frac{1}{d^2}}} \frac{1}{p - \frac{2d^2}{\tau_2} \left( -1 - \sqrt{1 - \frac{1}{d^2}} \right)} \right]. \quad (16)$$

Перейдя к оригиналу, для аппроксимирующей функции получим:

$$y_{\text{апп}}(t; \tau_2^*; d; K_{\text{ЭМ}}^*) = K_{\text{ЭМ}} A \left[ 1 - \frac{1 + \sqrt{1 - \frac{1}{d^2}}}{2\sqrt{1 - \frac{1}{d^2}}} \exp\left( -\frac{2d^2}{\tau_2^*} \left( 1 - \sqrt{1 - \frac{1}{d^2}} \right) t \right) + \frac{1 + \sqrt{1 - \frac{1}{d^2}}}{2\sqrt{1 - \frac{1}{d^2}}} \exp\left( -\frac{2d^2}{\tau_2^*} \left( 1 + \sqrt{1 - \frac{1}{d^2}} \right) t \right) \right]. \quad (17)$$

Особенностью выражения (17) является то, что параметр  $d$  – един-

ственное неизвестное. Поэтому (17) удобно использовать для аппроксими-

зации записанной в памяти ЭВМ разгонной характеристики тестируемого привода.

В результате аппроксимации определяется значение  $d = d_0$  функции  $y_{\text{апп}}(t; \tau_2^*; d; K_{\text{ЭМ}}^*)$ , при котором средний квадрат ошибки между  $y(t; K_{\text{ЭМ}}; A; T_1; T_2)$  и  $y_{\text{апп}}(t; \tau_2^*; d; K_{\text{ЭМ}}^*; A)$  на всём анализируемом интервале времени  $\{0, t_{\text{уст}}\}$  будет минимальным.

Сравнение (2) и (17) показывает, что оценки постоянных времени  $T_1^*$  и  $T_2^*$  и параметры  $\tau_2^*$  и  $d_0$  связаны формулами:

$$T_1^* = \frac{\tau_2^*}{2d_0^2 \left( 1 + \sqrt{1 - \frac{1}{d_0^2}} \right)}, \quad T_2^* = \frac{\tau_2^*}{2d_0^2 \left( 1 - \sqrt{1 - \frac{1}{d_0^2}} \right)}, \quad (18)$$

которые используются для определения  $T_1^*$  и  $T_2^*$  по найденным значениям  $\tau_2^*$  и  $d_0$ .

### МОДЕЛИРОВАНИЕ АЛГОРИТМА

Для проверки работоспособности алгоритма, в пакете программ *Matlab* проводилось математическое моделирование его работы в такой последовательности:

1. Была создана имитационная модель тестируемого электропривода. Для этого были заданы постоянные времени  $T_1, T_2$  и коэффициент передачи по скорости  $K_{\text{ЭМ}}$  модели, а также амплитуда  $A$  тестирующего напряжения;
2. По формуле (2) для заданных  $T_1, T_2$  и  $K_{\text{ЭМ}}$  была рассчитана переходная характеристика модели тестируемого двигателя по скорости  $y_{\text{мод}}(t; K_{\text{ЭМ}}; A; T_1; T_2)$ ;

$$y_{\text{мод}}(t; K_{\text{ЭМ}}; A; T_1; T_2) = K_{\text{ЭМ}} A \left\{ \frac{T_1}{T_2 - T_1} e^{-\frac{t}{T_1}} - \frac{T_2}{T_2 - T_1} e^{-\frac{t}{T_2}} + 1 \right\}. \quad (19)$$

3. По характеристике  $y_{\text{мод}}(t; K_{\text{ЭМ}}; A; T_1; T_2)$  были определены значения  $t_{\text{уст}}^*$  и  $K_{\text{ЭМ}}^*$ ;
4. По формуле (4) для заданных  $T_1, T_2, K_{\text{ЭМ}}$  была рассчитана переходная характеристика модели тестируемого двигателя по угловому положению  $z_{\text{мод}}(t; K_{\text{ЭМ}}; A; T_1; T_2)$ ;

Таблица 1. Результаты проведения эксперимента 1

Параметры эксперимента 1	Значение параметров эксперимента 1
Отношение постоянных времени, $T_1/T_2$	0,1
Значение первой постоянной времени $T_1$ , с	0,050
Значение оценки первой постоянной времени $T_1^*$ , с	0,041
Относительная погрешность измерения первой постоянной времени в первом эксперименте $\gamma_{11^*}$ , %	1,8
Значение второй постоянной времени $T_2$ , с	0,50
Значение оценки второй постоянной времени $T_2^*$ , с	0,501
Относительная погрешность измерения второй постоянной времени в первом эксперименте $\gamma_{12^*}$ , %	0,6
Оценка суммы значений первой и второй постоянных времени $\tau_2^*$ , с	0,542094
Оценка коэффициента передачи по скорости привода $K_{ЭМ}^*$ , рад/(сВ)	5,0
Значение параметра $d_0$ для первого эксперимента $d_{01}$	1,893
Максимальное значение относительной текущей ошибки между разгонными кривыми имитационной модели привода и аппроксимирующей кривой для первого эксперимента $\delta_1$ , %	1,25%

Таблица 2. Результаты проведения эксперимента 2

Параметры эксперимента 2	Значение параметров эксперимента 2
Отношение постоянных времени, $T_1/T_2$	0,4
Значение первой постоянной времени $T_1$ , с	0,200
Значение оценки первой постоянной времени $T_1^*$ , с	0,196
Относительная погрешность измерения первой постоянной времени во втором эксперименте $\gamma_{21^*}$ , %	2,0
Значение второй постоянной времени $T_2$ , с	0,500
Значение оценки второй постоянной времени $T_2^*$ , с	0,497
Относительная погрешность измерения второй постоянной времени во втором эксперименте $\gamma_{22^*}$ , %	0,6
Оценка суммы значений первой и второй постоянных времени $\tau_2^*$ , с	0,693169
Оценка коэффициента передачи по скорости привода $K_{ЭМ}^*$ , рад/(сВ)	5,0
Значение параметра $d_0$ для первого эксперимента $d_{02}$	1,110
Максимальное значение относительной текущей ошибки между разгонными кривыми имитационной модели привода и аппроксимирующей кривой для первого эксперимента $\delta_2$ , %	0,54%

Таблица 3. Результаты проведения эксперимента 3

Параметры эксперимента 3	Значение параметров эксперимента 3
Отношение постоянных времени, $T_1/T_2$	0,600
Значение первой постоянной времени $T_1$ , с	0,300
Значение оценки первой постоянной времени $T_1^*$ , с	0,289
Относительная погрешность измерения первой постоянной времени во втором эксперименте $\gamma_{31^*}$ , %	3,7
Значение второй постоянной времени $T_2$ , с	0,500
Значение оценки второй постоянной времени $T_2^*$ , с	0,502
Относительная погрешность измерения второй постоянной времени во втором эксперименте $\gamma_{32^*}$ , %	4,0
Оценка суммы значений первой и второй постоянных времени $\tau_2^*$ , с	0,790136
Оценка коэффициента передачи по скорости привода $K_{ЭМ}^*$ , рад/(сВ)	5,0
Значение параметра $d_0$ для первого эксперимента $d_{03}$	1,038
Максимальное значение относительной текущей ошибки между разгонными кривыми имитационной модели привода и аппроксимирующей кривой для первого эксперимента $\delta_3$ , %	0,75%

- По значениям  $z_{\text{мод}}(t; K_{ЭМ}; A; T_1; T_2)$  определена зависимость касательной  $P(t; K_{ЭМ}; A; T_1; T_2)$  к функции  $z_{\text{мод}}(t; K_{ЭМ}; A; T_1; T_2)$  в точке  $(t_{\text{уст}}, z(t_{\text{уст}}))$ ;
- Из уравнения  $P(t; K_{ЭМ}; A; T_1; T_2)$  определена оценка постоянной времени  $\tau_2^*$ ;
- Выполнена аппроксимация разгонной характеристики  $y_{\text{мод}}(t; K_{ЭМ}; A; T_1; T_2)$  имитационной модели тестируемого привода аппроксимирующей функцией  $y_{\text{appr}}(t; \tau_2^*; d; K_{ЭМ}^*)$ , в результате чего найдено значение  $d_0$ ;
- По найденным значениям  $\tau_2^*$  и  $d_0$  в соответствии с формулами (18) определены  $T_1^*$  и  $T_2^*$  модели тестируемого привода.

В процессе моделирования были выполнены три эксперимента, которые отличались значениями постоянных времени  $T_1$  и  $T_2$  имитационной модели тестируемого электропривода. Амплитуда напряжения  $A$  во всех экспериментах задавалась равной 1 В, коэффициент передачи по скорости  $K_{ЭМ}$  составлял 5 рад/(сВ).

Результаты проведения первого эксперимента, где для имитационной модели привода задавалось  $T_1 = 0,05$  с при  $T_2 = 0,50$  с, представлены на рисунках 2 и 3 и в таблице 1.

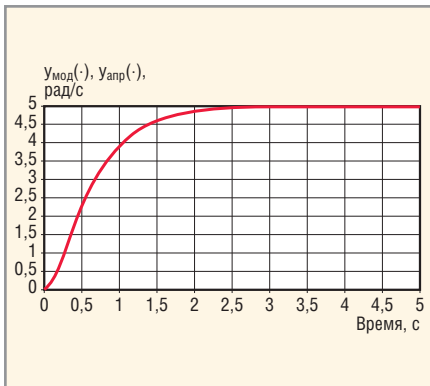
Результаты проведения второго эксперимента, где для имитационной модели привода задавалось  $T_1 = 0,20$  с при  $T_2 = 0,50$  с, представлены на рисунках 4 и 5 и в таблице 2.

Результаты проведения третьего эксперимента, где для имитационной модели привода задавалось  $T_1 = 0,30$  с при  $T_2 = 0,50$  с, представлены на рисунках 6 и 7 и в таблице 3.

## Выводы

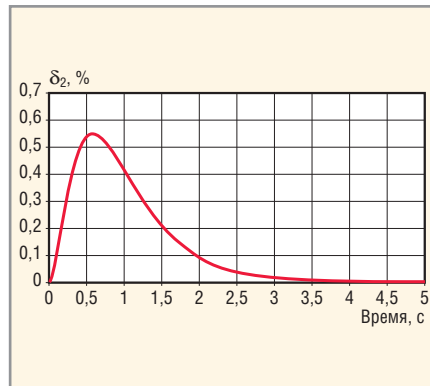
Результаты проверки работоспособности алгоритма в процессе его моделирования с использованием имитационной модели позволяют сделать следующие выводы:

- при уменьшении разности между постоянными времени привода относительная погрешность идентификации возрастает;
- максимальная относительная погрешность определения постоянных времени в достаточно широком диапазоне значений отношения постоянных времени не превышает 4%;
- максимальное значение относительной текущей ошибки между



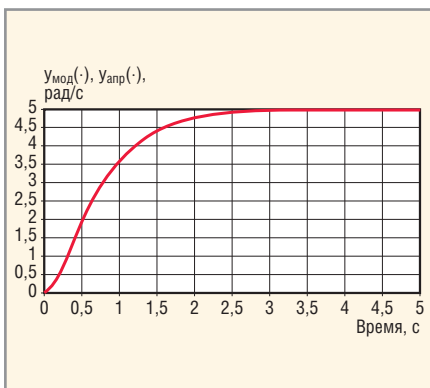
**Рис. 4. Эксперимент 2**

Переходная характеристика по скорости  $U_{\text{мод}}(\bullet)$  для модели тестируемого привода с  $K_{\text{ЭМ}} = 5,0$ ;  $T_1 = 0,2$  с;  $T_2 = 0,5$  с и аппроксимирующая кривая  $U_{\text{апр}}(\bullet)$  с  $K_{\text{ЭМ}}^* = 5,0$ ;  $\tau_2^* = 0,542094$  с практически сливаются



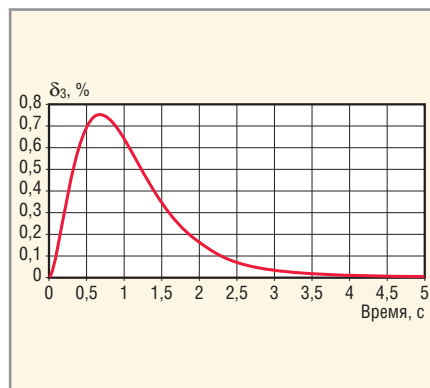
**Рис. 5. Эксперимент 2**

Относительная текущая ошибка между переходной характеристикой по скорости  $U_{\text{мод}}(\bullet)$  для модели тестируемого привода  $U_{\text{мод}}(\bullet)$  с  $K_{\text{ЭМ}} = 5,0$ ;  $T_1 = 0,2$  с;  $T_2 = 0,5$  с и аппроксимирующей кривой  $U_{\text{апр}}(\bullet)$  с  $K_{\text{ЭМ}}^* = 5,0$ ;  $\tau_2^* = 0,693169$  с



**Рис. 6. Эксперимент 3**

Переходная характеристика по скорости  $U_{\text{мод}}(\bullet)$  для модели тестируемого привода с  $K_{\text{ЭМ}} = 5,0$ ;  $T_1 = 0,3$  с;  $T_2 = 0,50$  с и аппроксимирующая кривая  $U_{\text{апр}}(\bullet)$  с  $K_{\text{ЭМ}}^* = 5$ ;  $\tau_2^* = 0,790136$  с практически сливаются



**Рис. 7. Эксперимент 3**

Относительная текущая ошибка между переходной характеристикой по скорости  $U_{\text{мод}}(\bullet)$  для модели тестируемого привода с  $K_{\text{ЭМ}} = 5,0$ ;  $T_1 = 0,3$  с;  $T_2 = 0,5$  с и аппроксимирующей кривой  $U_{\text{апр}}(\bullet)$  с  $K_{\text{ЭМ}}^* = 5,0$ ;  $\tau_2^* = 0,790136$  с

разгонными кривыми для имитационной модели тестируемого привода и аппроксимирующей кривой в выбранном при моделировании диапазоне отношений постоянных времени не превышает 1,25%;

- погрешность определения коэффициента передачи привода определяется временем расчёта переходного процесса. Если это время пятикратно превышает время установления переходного процесса, то погрешность определения коэффициента передачи не превышает 1%;
- предлагаемый алгоритм идентификации электропривода для случая, когда его математическая модель представима в виде последовательного соединения передаточных функций двух инерционных и одного интегрирующего звеньев, позволяет с достаточной для практического применения точностью опре-

делять коэффициент передачи по угловой скорости электропривода и обе постоянные времени.

### ЛИТЕРАТУРА

1. Методы классической и современной теории автоматического управления. Т. 2: Статистическая динамика и идентификация систем автоматического управления. Под ред. К.А. Пупкова, Н.Д. Егунова. МГТУ им. Н.Э. Баумана, 2004.
2. Атабеков Г.И. Теоретические основы электротехники: Линейные электрические цепи. Лань, 2008.
3. Бесежерский В.А., Попов Е.П. Теория систем автоматического управления. Профессия, 2004.
4. Дейч А.М. Методы идентификации динамических объектов. Энергия, 1979.
5. Бронштейн И.Н., Семендяев К.А. Справочник по математике для инженеров и учащихся втузов. Лань, 2009.
6. Красовский А.А., Поспелов Г.С. Основы автоматики и технической кибернетики. Госэнергоиздат, 1962.

